

## 4 ЭКСПЕРИМЕНТАЛЬНОЕ ОПРЕДЕЛЕНИЕ ХАРАКТЕРИСТИК СОПРОТИВЛЕНИЯ КОНТАКТНОЙ УСТАЛОСТИ

**4.1 Цель:** экспериментально определить характеристики трения и изнашивания при КУ.

**4.2 Применяемые приборы и оборудование:** испытательные машины серии СИ, объекты испытаний: пары трения (образцы и контробразцы).

**4.3 Схема испытаний на КУ. Расчет контактных напряжений**

Рисунок 4.1 – \_\_\_\_\_

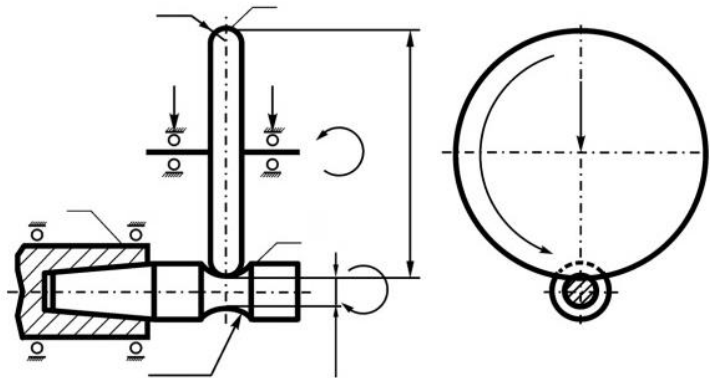
\_\_\_\_\_

\_\_\_\_\_

\_\_\_\_\_

\_\_\_\_\_

\_\_\_\_\_



\_\_\_\_\_

\_\_\_\_\_

\_\_\_\_\_

\_\_\_\_\_

\_\_\_\_\_

\_\_\_\_\_

\_\_\_\_\_

\_\_\_\_\_

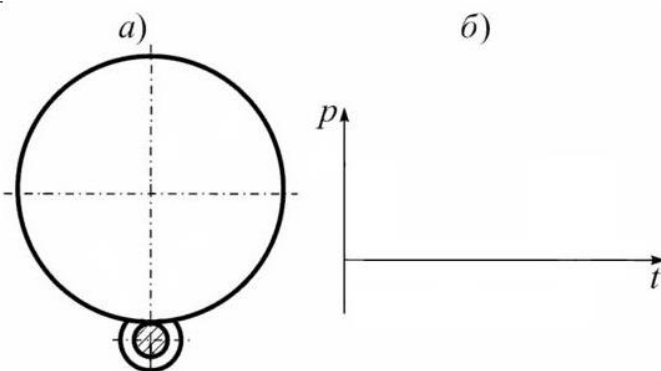


Рисунок 4.2 – \_\_\_\_\_

\_\_\_\_\_

\_\_\_\_\_

\_\_\_\_\_

\_\_\_\_\_

Максимальные контактные напряжения  $p_0$  в центре контактной площадки (согласно Р 50-54-30-87) определяют по формуле

					Лабораторная работа №4							
Изм.	Лист	№ докум.	Подпись	Дата								
Разраб.					Экспериментальное определение характеристик контактной усталости			Лит.	Лист	Листов		
Провер.		Тюрин								1	5	
								ГГТУ им. П.О. Сухого гр.				





Уравнение кривой КУ:

#### 4.5 Ускоренный метод многоступенчатого нагружения



---

#### 4.6 Экспериментальное определение характеристик трения и изнашивания при КУ

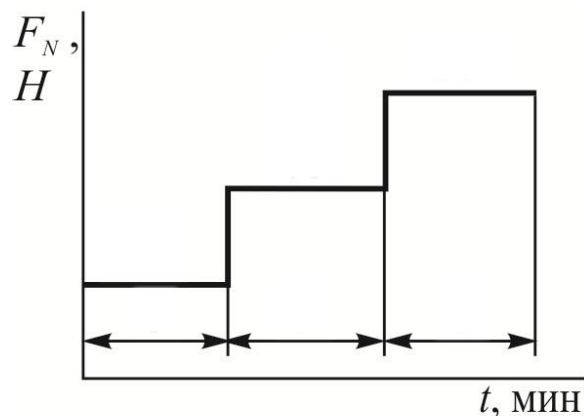


Рисунок 4.6 – \_\_\_\_\_

№ ступени	$F_N$ , Н	$p_0$ , МПа	$N_{\Sigma p}$ , цикл	$t_{\Sigma p}$ , мин	$\delta_c$ , мкм

#### 4.7 Изучение характера повреждений

Характер повреждения поверхности образца после проведения испытаний показан на рисунке 4.7.

\_\_\_\_\_

\_\_\_\_\_

\_\_\_\_\_

\_\_\_\_\_

\_\_\_\_\_

\_\_\_\_\_

\_\_\_\_\_

\_\_\_\_\_

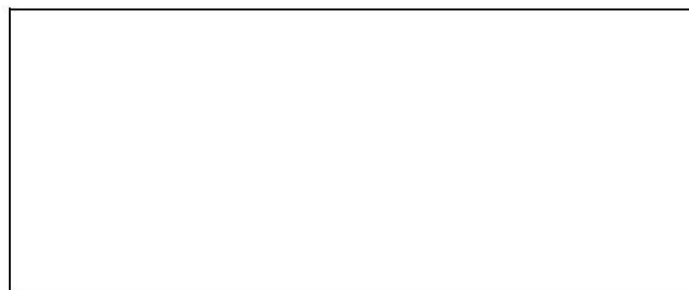


Рисунок 4.7 – \_\_\_\_\_

#### 4.8 Выводы

---

---

---

---

---

Дата \_\_\_\_\_

Отметка о защите работы  
(подпись преподавателя) \_\_\_\_\_